

состоит из двух скачков 31 и 33 ГПа. Разумно предположить, что это связано с возникновением двухвольновой конфигурации, соответствующей фазовому переходу.

ЛИТЕРАТУРА

1. Б. Алдер.— В кн.: Твердые тела под высоким давлением. Под ред. В. Пол, Д. Варшавэр. М.: Мир, 1966.
2. Л. В. Альтшулер, Л. В. Кулешова, М. Н. Павловский. ЖЭТФ, 1960, 39, 1, 16.
3. Г. И. Канель, А. М. Молодец, А. А. Воробьев. ФГВ, 1974, 10, 6, 884.
4. С. С. Набатов, А. Н. Дремин, В. И. Постиов и др. Письма в ЖЭТФ, 1979, 29, 7, 407.
5. Г. И. Канель, Г. Г. Вахитова, А. Н. Дремин. ФГВ, 1978, 14, 2, 130.
6. В. И. Постиов.— В кн.: Нестационарные проблемы гидродинамики. Вып. 48. Новосибирск, 1980.
7. В. В. Якушев, С. С. Набатов, О. Б. Якушева. ФГВ, 1974, 10, 4, 583.
8. Ю. Н. Тюняев, Ю. В. Лисицын, Е. З. Новицкий и др.— В кн.: Горение и взрыв. М.: Наука, 1972.
9. Л. В. Альтшулер. УФН, 1965, 85, 2, 197.
10. Compendium of shock waverdata, ed by M. van Thil. V. 2. L. L. L., University of California/Livermore, 1977.

УДК 539.89+537.226

ИНДУЦИРОВАННАЯ УДАРНОЙ ВОЛНОЙ ЭЛЕКТРИЧЕСКАЯ ПОЛЯРИЗАЦИЯ ВИНИПЛАСТА

A. П. Курто, А. Г. Антипенко, А. Н. Дремин, В. В. Якушев
(Черноголовка)

Возникновение во фронте ударной волны (ФУВ) электрической поляризации (ударной поляризации) полимеров обнаружено в [1]. Ряд авторов считает [1—4], что причина явления заключается в ориентации элементарных диполей, входящих в состав макромолекулы. Иная точка зрения высказывается в [5, 6]: внутри ФУВ происходит механодеструкция макромолекул с разделением электрически заряженных «обломков» в поле сил фронта. Один из основных выводов модели [5, 6] состоит в том, что значительную величину ударной поляризации можно ожидать только в полимерах, мономерное звено которых имеет достаточно сложную структуру, например, полисульфон, полиметилметакрилат, полипиромелитимид, полистирол и др. Такие полимеры легко подвергаются механодеструкции. С другой стороны, согласно [5], в полимерах типа поливинилхлорида (ПВХ) с простыми звеньями эффект должен быть невелик. Последнее утверждение не согласуется с данными единичных экспериментов [7], выполненных для винипласта (пластмассы на основе ПВХ) при давлении 15,5 ГПа.

Представляло интерес более подробно количественно исследовать ударную поляризацию ПВХ в широком диапазоне динамических давлений, чему и посвящена настоящая работа.

Постановка экспериментов

В качестве объекта исследований выбран винипласт марки ВНЭ плотностью 1,40 г/см³, имеющий следующий состав (в % по массе): ПВХ — 92,6, свинцовый глет — 2,6, стеарат кальция — 1,1, стеарин — 0,9, веретенное масло — 2,8.

Схема экспериментов представлена на рис. 1. На медном или алюминиевом электроде-экране 1 диаметром 80 и толщиной 8 мм находился образец винипласта 2 в виде диска диаметром 17 и толщиной 2 мм. Охранное кольцо 3 и верхний электрод 4 диаметром 8 мм наносили путем химического меднения. Ширина зазора между ними не превышала

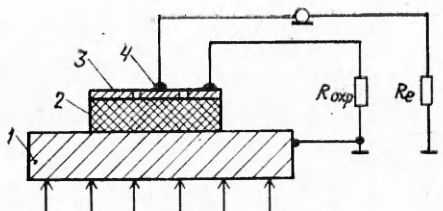


Рис. 1. Схема экспериментального устройства.

1 — электрод-экран; 2 — образец; 3 — охранное кольцо; 4 — электрод. Стрелками показано направление движения ударной волны.

0,1 мм. Электрические сигналы подавались на осциллограф ОК-33, имеющий входное сопротивление $R_e = 75$ Ом. Величину сопротивления нагрузки охранного кольца R_{oxp} выбирали таким образом, чтобы произведения площадей центрального электрода и кольца на соответствующие сопротивления нагрузок были одинаковыми. Близкая к одномерной ударная волна создавалась взрывной системой, состоящей из генератора плоской детонационной волны и заряда взрывчатого вещества диаметром 80 и высотой 120 мм.

Результаты

Типичная осциллограмма электрического сигнала приведена на рис. 2. В начальный момент $t_0 = 0$ ударная волна входит в образец, момент t_1 соответствует контакту ФУВ со вторым электродом. Для определения ударной адиабаты полимера по длительности сигнала и известной толщине образца рассчитывали скорость ФУВ (v). Зная состояние экрана, методом отражения находили массовую скорость (u), давление (p) и сжатие (σ). На рис. 3 приведена адиабата, полученная методом наименьших квадратов в координатах $v - u$. Она состоит из двух линейных участков: $v = 2,28 + 1,65u$ ($0,4 \leq u \leq 1,4$); $v = 1,59 + 1,89u$ ($1,6 \leq u \leq 3,0$). Скорости выражены в км/с.

Расчет параметров ударной поляризации проводили в рамках одномерной феноменологической теории Аллисона [8], которая дает зависимость поляризационного тока i от времени в виде

$$i(t) = \frac{P_0 S}{\pi t_1} \frac{\left[1 - \left(1 - \frac{1}{\kappa} \right) \frac{t}{t_1} \right] e^{-\frac{t}{\tau}} + \left(1 - \frac{1}{\kappa} \right) \frac{\tau}{t_1} \left(1 - e^{-\frac{t}{\tau}} \right)}{\left[1 - \left(1 - \frac{1}{\kappa} \right) \frac{t}{t_1} \right]^2},$$

где P_0 — начальная электрическая поляризация на ФУВ; τ — время релаксации поляризации; $\kappa = \sigma \varepsilon_2 / \varepsilon_1$; ε_1 и ε_2 — диэлектрические проницаемости соответственно исходного и сжатого вещества; $\sigma = v/v - u$; S — площадь датчика. Значения P_0 , κ , τ находили, минимизируя по этим параметрам сумму квадратов отклонений экспериментальных и расчетных величин тока на участке от некоторого момента t^* до t_1 . Такой способ обработки позволяет уменьшить влияние искажений сигнала, обусловленных неизбежной в реальном эксперименте разновременностью входа ударной волны в образец t_2 .

Примеры расчетных и экспериментальных кривых изображены на рис. 4. В таблице приведены значения расчетных параметров ударной поляризации. На рис. 5 показана зависимость P_0 от σ для винипластика.

Обсуждение результатов

Излом ударной адиабаты при 8,5 ГПа свидетельствует о том, что начиная с этого давления, за время измерения, т. е. меньше чем за 0,5 мкс, винипласт претерпевает превращение с уменьшением объема. По аналогии с низкомолекулярными жидкостями [9] его можно трактовать как быструю химическую реакцию (деструкцию полимера). Об этом же свидетельствуют проведенные отдельные эксперименты по измерению

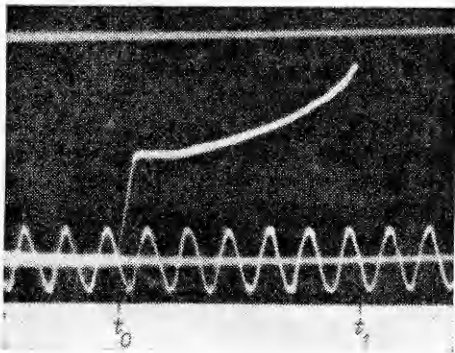


Рис. 2. Осциллограмма опыта с винипластом; давление 3,4 ГПа, калибровочное напряжение $0,214 B$, частота меток времени 10 МГц.

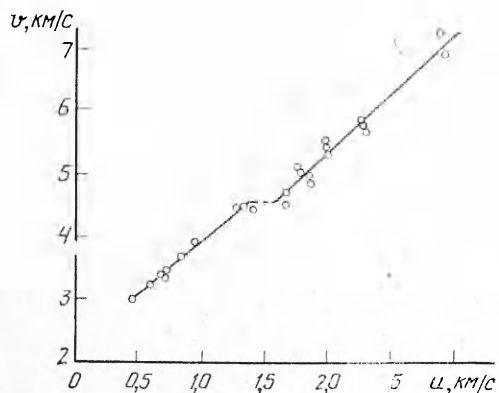


Рис. 3. Ударная адиабата винипласта.

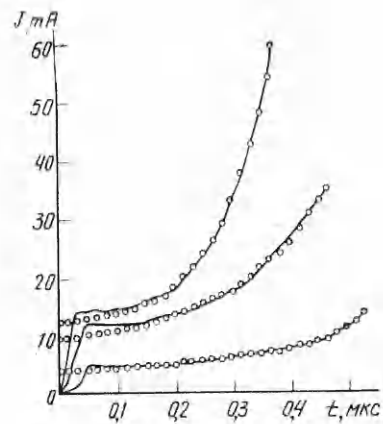


Рис. 4. Зависимости поляризационного тока от времени. Сплошные линии — эксперимент, кружки — расчет.

Давление за ФУВ, ГПа: 1 — 5,1, 2 — 8,1, 3 — 15,3.

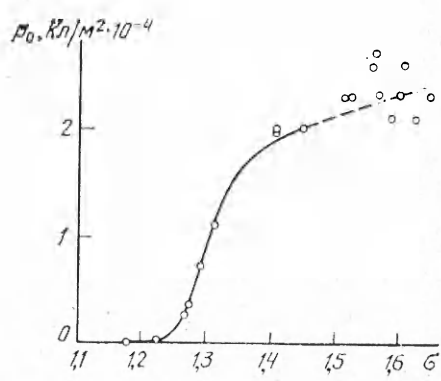


Рис. 5. Зависимость P_0 от σ .

электропроводности винипласта, аналогичные [10]. Оказалось, что в области ниже излома на ударной адиабате проводимость не превышает предела чувствительности методики, составляющего $10^{-4} \text{ Ом}^{-1} \cdot \text{м}^{-1}$. В то же время при давлении 15 ГПа она постепенно растет за ФУВ, достигая через 1,5 мкс величины $10^{-2} \text{ Ом}^{-1} \cdot \text{м}^{-1}$, а при давлении 18 ГПа через 1 мкс за фронтом проводимость возрастает до $0,5 \text{ Ом}^{-1} \cdot \text{м}^{-1}$. Так как модель Аллисона не учитывает возникновения проводимости, то величины параметров ударной поляризации для давлений выше излома адиабаты следуют рассматривать как формальные. Более подробные измерения проводимости станут предметом дальнейших исследований.

Анализ формы осциллограмм поляризационного тока говорит о том, что существует спектр релаксационных процессов. Поэтому, как правило, (см. рис. 4), не удается описать весь экспериментальный сигнал теоретической кривой с одним временем релаксации. В таких случаях величину t^* выбирали достаточно большой, обычно $(0,2 \div 0,4) t_1$. При этом быстрые релаксационные процессы, дающие пик тока в начале сигнала, из рассмотрения исключаются. Следует отметить, что их количественное изучение затруднено из-за влияния кривизны и перекосов ФУВ.

В диапазоне давлений до излома адиабаты величина начальной ударной поляризации в винипласте оказалась выше, чем в полиметилметакрилате [2] и полипиромелитимиде [5] (полимерах со значительно более сложной структурой мономерного звена), и лишь несколько (не

p , ГПа	v , км/с	σ	t_1 , мкс	$\frac{P_0}{10^{-4} \text{Кл/м}^2}$	α	τ , мкс
1,8	2,97	1,17	0,70	0,002	0,95	1,3
2,7	3,29	1,22	0,59	0,09	2,0	0,3
3,4	3,43	1,26	0,59	0,3	2,0	0,5
3,4*	3,42	1,26	0,61	—	—	—
3,4	3,36	1,27	0,61	0,3	2,1	0,4
4,3	3,70	1,29	0,53	0,7	2,0	0,7
5,2	3,92	1,31	0,53	1,1	2,0	0,9
8,1	4,46	1,41	0,45	2,0	2,3	0,7
8,1	4,48	1,41	0,46	2,0	2,3	0,7
8,6	4,45	1,45	0,46	2,0	2,4	0,8
10,3	4,52	1,57	0,43	2,3	2,6	0,6
10,6	4,67	1,53	0,44	2,3	2,4	0,6
12,5	5,08	1,53	0,39	2,3	2,6	0,6
12,5	5,08	1,53	0,41	2,7	2,6	0,5
12,6	4,86	1,62	0,42	2,3	2,5	0,6
12,8	4,97	1,59	0,42	2,1	2,5	0,6
14,9	5,32	1,61	0,37	2,6	3,0	0,4
15,2	5,44	1,58	0,37	3,9	3,3	0,2
15,3	5,54	1,56	0,37	2,6	3,1	0,3
18,3*	5,72	1,66	0,34	—	—	—
18,4	5,83	1,63	0,34	2,1	3,5	0,2
18,4	5,78	1,65	0,36	2,4	3,2	0,2
28,0*	6,9	1,72	0,33	—	—	—
29*	7,25	1,65	0,33	—	—	—

* — Специальные опыты для измерения ударной адиабаты.

более чем в полтора раза) ниже, чем в полисульфоне, где эффект максимален среди исследованных полимеров [6].

Исходя из вышеизложенного можно заключить, что пока нет оснований отказываться от ориентационной модели ударной поляризации в полимерах.

ЛИТЕРАТУРА

1. R. J. Eichelberger, G. E. Hauver. Les ondes de détonation. Paris, 1962.
2. G. E. Hauver. J. Appl. Phys., 1965, 36, 7, 2113.
3. M. de Icaza-Herrera, A. Migault, J. Jacquesson. C. R. Acad. Sci., Paris, 1977, 284B, 503.
4. M. de Icaza-Herrera. Thèse de 3^o Cycle, l'Université de Poitiers. 1976.
5. R. A. Graham. J. Phys. Chem., 1979, 83, 23, 3048.
6. R. A. Graham. Shock Waves in Condensed Matter, 1981 (Menlo Park). American Institute of Physics, N. Y., 1982.
7. Е. З. Новицкий, А. Г. Иванов, П. Р. Хохлов.— В кн.: Горение и взрыв. М.: Наука, 1971, 579.
8. F. E. Allison. J. Appl. Phys., 1965, 36, 7, 2111.
9. О. Б. Якушева, В. В. Якушев, А. Н. Дремин. ЖФХ, 1977, 60, 7, 1656.
10. В. В. Якушев, С. С. Набатов, О. Б. Якушева. ФГВ, 1974, 10, 4, 583.

УДК 539.374

ПЛОСКОЕ СОУДАРЕНИЕ МЕТАЛЛИЧЕСКИХ ПЛАСТИН РАВНОЙ ТОЛЩИНЫ

A. A. Дерибас, И. Д. Захаренко, В. М. Фомин, Э. М. Хакимов
(Новосибирск)

Постановка задачи. Рассмотрим задачу о соударении двух металлических пластин одинаковой толщины l со скоростью u_0 в вакууме и с различием воздушной прослойки толщиной l_0 . Считаем, что длина пластин много больше их толщины, потому будем изучать процесс взаимодействия волн в одномерном приближении. Одномерное движение среды для